

کشت سه بعدی سلول‌های استخوانی فک انسان در داربست PLLA/HA

جواد فاریانی^{۱*}، سیدنورالدین نعمت‌اللهی^۲، بروین صالحی‌نژاد^۳، محبوبه شاهرخی^۴، محمدتقی خراسانی^۷

خلاصه

مقدمه: تولید بافت استخوانی جدید با سلول و ماتریکس‌های خارج سلولی سنتیک (داربست‌ها) روشی جدید برای بازسازی بافت‌های معدنی و استخوان می‌باشد. این مطالعه به منظور بررسی قابلیت انجام کشت سه بعدی سلول‌های استئوپلاست در داربست‌های PLLA/HA (poly L-Lactic acid/hydroxyl apatite) انجام شد.

روشن: در این مطالعه سه نمونه استخوانی از محل جراحی دندان‌های عقل نهفته افراد داوطلب برداشته شد. سلول‌های استئوپلاست با استفاده از دو آنزیم تریپسین و کلائزاز از نمونه‌ها استحصال و تا پاساژ چهارم به صورت تک لایه کشت داده شده و سپس به تعداد یک میلیون سلول در میلی‌لیتر به داربست PLLA/HA منتقل شدند و بعد از ۲۱ روز داربست‌ها توسط رنگ آمیزی‌های H&E و Von kossa و میکروسکوپ الکترونی بررسی شدند.

یافته‌ها: نتایج حاصل از مقایسه دو آنزیم تریپسین و کلائزاز نشان داد که سرعت رشد سلولی در سلول‌های جداشده با کلائزاز بیشتر بود. بررسی میکروسکوپ الکترونی هم چسبندگی و تکثیر سلولی را در داربست‌ها نشان داد. رنگ آمیزی H&E و Von kossa نیز حضور سلول‌ها در داربست‌ها را تأیید کرد.

نتیجه‌گیری: این یافته‌ها تایید می‌کنند که سلول‌های استئوپلاست می‌توانند در شرایط آزمایشگاهی در داربست‌های PLLA/HA رشد کنند.

واژه‌های کلیدی: استئوپلاست، مهندسی بافت، پلیمر PLLA، هیدورکسی آپاتیت، داربست بافتی

۱-دانشیار جراحی دهان، فک و صورت، گروه جراحی دهان، فک و صورت دانشکده دندانپزشکی، دانشگاه علوم پزشکی کرمان، ۲-عضو مرکز تحقیقات بیماری‌های دهان و دندان دانشگاه علوم پزشکی کرمان ۳-استاد آناتومی، گروه علوم تشریحی دانشکده پزشکی، دانشگاه علوم پزشکی کرمان ۴-عضو مرکز تحقیقات فیزیولوژی، دانشگاه علوم پزشکی کرمان ۵-دکترای بیوتکنولوژی پزشکی، گروه آناتومی، دانشکده پزشکی، دانشگاه علوم پزشکی کرمان ۶-دانشکده پزشکی، دانشگاه علوم پزشکی جیرفت ۷-دکترای بیوماتریال‌های پلیمری، انتستیتو پلیمر ایران

*نوبنده مسؤول، آدرس پست الکترونیک: jfr @ kmu.ac.ir

پذیرش مقاله: ۱۳۹۱/۱۲/۲۳

دریافت مقاله اصلاح شده: ۱۳۹۱/۱۲/۱۴

دریافت مقاله: ۱۳۹۱/۵/۱۳

مقدمه

استفاده از سیستم Contineous flow bioreactor به جریان یافتن مداوم مواد مغذی در داربست های سه بعدی توجه شده که نتیجه آن حفظ بیشتر سلول های استخوانی و افزایش تعداد آنها در داربست با این روش بوده است (۶). در مجموع در همه این تحقیقات و سایر تحقیق های مشابه به قابل انجام بودن کشت سه بعدی سلول های استخوانی اشاره شده و هر کدام به قسمتی از روش های بهبود و پیشبرد این امر کمک نموده اند.

مهندسی بافت دارای معايب و مزايائي است که از جمله مزايائي آن ايمن تر بودن نسبت به ساير روش ها، هزينه كمتر، نياز كمتر به بافت دهنده و مهم تر از همه حذف مشكل سركوب سیستم ايمني می باشد. از معايب آن می توان به زمان بر بودن و دسترسی محدود به سلول های اتوژن اشاره کرد. لذا ما طی انجام دو پژوهش جداگانه به کشت سلول های استخوان فک مبادرت نمودیم. در پژوهش اول که قبل انتایج آن در همین مجله چاپ شده، سلول های استنبولاست به صورت تک لایه در فلاسک آزمایشگاهی رشد داده شد (۷) اما به منظور دست یابی به شرایط انجام این تحقیق به صورت بالینی نیاز به تحقیق بر روی کشت آنها به صورت سه بعدی بود که نتایج آن در مقاله حاضر گزارش می شود. با توجه به انجام موققت آمیز کشت سلول های استخوانی فک انسان به صورت سه بعدی در آزمایشگاه می توان از نتایج آن برای بازسازی نقصان ناحي فک و صورت استفاده نمود.

روش بررسی

در اين مطالعه از سه نفر از يماران داوطلب مراجعه كننده به بخش جراحی دانشکده دندانپزشکی کرمان استفاده شد. اين يماران مبتلا به هيچ نوع يماری استخوانی نبوده و سابقه مصرف دارويي خاص را نداشتند. سن آنها در محدوده ۲۰-۲۵ سال و داوطلب جراحی دندان عقل نهفته در فک بودند. كليه جراحی ها تحت بيحسی موضعی انجام و بلوکی

روش های بازسازی استخوان شامل پيوندهای استخوانی، درمان های پروتزی و بازسازی توسط جراحی است که در بسياري از موارد مؤثرند. در سال های اخير پيشرفت های عمده ای در روش های بازسازی استخوان برای درمان بافت يا عضو از دست رفته صورت گرفته است. بالين حال موانع مرتبط بالين درمان ها (نياز به ناحيه دوم جراحی، اندازه و شكل ناكافي پيوند، خونرسانی ناكافي و نقصان مربوط به محل دهنده پيوند) منجر به توجه بيشتر به روش های جديد درمانی از جمله مهندسی بافت (tissue engineering) با استفاده از سلول و داربست شده است (۱،۲). تولید استخوان به وسیله ترکيب سلول های اتوژن با داربست سه بعدی (3D-Scaffold) يکی از روش های نوید بخش در جراحی های جمجمه ای - صورتی (canio-facial) می باشد. اين روش شامل جداسازی سلول ها از فرد و رشد آنها در داربست سه بعدی تحت شرایط لازم برای ايجاد بافت های دارای عملکرد می باشد. سپس ساختار داربست و بافت در بدن يمار کاشته شده، داربست به تدریج جذب می گردد و فقط بافت طبیعی در بدن باقی می ماند. بدین ترتیب این روند درمانی که در آن بافت مصنوعی از لحاظ ساختاری و عملکردی با بدن يکی می شود كامل می گردد (۳).

در مطالعات مختلف انجام شده در زمینه کشت سلول های استخوانی به صورت سه بعدی و داخل داربست موضوعات متعددی بررسی شده است؛ مثلاً در يکی از پژوهش ها از داربست هایی از جنس Tricalcium phosphate و Bioss برای کشت دادن سلول های استخوانی استفاده شده و نشان داده اند که سلول های مزانشیمی برداشته شده از فک انسان توانایی رشد در اين داربست ها را دارند (۴). در تحقیق بارون (Barron) و همکاران به حیات سلول های استخوانی در مرکز داربست های سه بعدی اشاره شده و پروفیوژن مناسب محیط کشت برای حفظ حیات سلول ها مورد بررسی قرار گرفته است (۵). در پژوهشی دیگر با

روش بررسی کشت سلول‌های استئوبلاست در حالت تک لایه فلاسک‌های حاوی سلول‌ها در انکوباتور CO_2 و در دمای ۳۷ درجه سانتی گراد نگهداری و میزان رشد سلول‌ها به کمک میکروسکوپ معکوس روزانه بررسی شد. پس از پوشش سلولی در حد ۹۰-۹۵ درصدی در کف فلاسک، سلول‌ها به کمک تریپسین ۰/۲۵ درصد از کف فلاسک جدا و بعد از خنثی کردن تریپسین با سرم جنین گاوی و سانتریفیوژ کردن به فلاسک‌های جدید انتقال و تا پاساژ ۴ کشت داده شدند.

انتقال سلول‌ها به داربست

در پاساژ چهارم پس از تریپسینه کردن، سانتریفیوژ و دور ریختن مایع رویی سلول‌ها یک میلی‌لیتر محیط کشت کامل به آنها اضافه و تعداد سلول‌ها توسط لام نئوبار شمرده شد. سپس به تعداد یک میلیون سلول در هر میلی‌لیتر از آنها به داربست سه بعدی (داربست پلی مری سرامیکی تهیه شده از مؤسسه پلیمر - پتروشیمی ایران) که در پلیت ۲۴ خانه قرار داده شده بود منتقل شد و داربست حدود ۱۰ دقیقه در انکوباتور قرار گرفته و یک میلی‌لیتر محیط کشت مخصوص به آن اضافه شد. محیط کشت داربست هر دو روز یک بار تعویض و بعد از ۲۱ روز داربست از محیط کشت خارج، توسط بافر نمکی فسفات شسته، به چهار قسم تقسیم شده و توسط پارافرمالدهید ۴ درصد فیکس شد. سپس وجود سلول‌های استئوبلاست در پاساژهای تک‌لایه‌ای و داربست‌های سه بعدی توسط رنگ آمیزی‌های Wst1، Von kossa، Hoechst H&E و میکروسکوپ الکترونی بررسی شد. داربست‌ها به منظور بررسی چسبندگی و انتشار سلولی توسط میکروسکوپ الکترونی، در پارافرمالدهید ۴٪ فیکس شدند، پس از آب‌گیری در اتانول با غاظت‌های (cam scan) و توسط میکروسکوپ الکترونی (gold coating) MV2300 بررسی شد.

از استخوان فک با اندازه تقریبی ($5 \times 5 \times 5$) میلی‌متر تحت شرایط استریل و توسط فرز ظرف همراه با شستشوی فراوان، یا توسط استئوتوم ظرف و یا رانژور (Ranger) جدا شده و در تیوب‌های محتوی محیط Hanks برای انتقال به آزمایشگاه کشت سلولی دانشکده پزشکی افضلی پور، قرار داده شد.

پس از انتقال بلوك‌های استخوانی به آزمایشگاه، به کمک تیغ جراحی استخوان به قطعات حدود ۱ میلی‌متر خرد و پس از شستشو با بافر نمکی فسفات قطعات به دو گروه مساوی تقسیم شدند. یک گروه به پلیت حاوی ۵-۱۰ میلی‌لیتر آنزیم تریپسین ۱/۲۵ درصد منتقل و پلیت به مدت ۳۰ دقیقه در انکوباتور CO_2 پنج درصد در دمای ۳۷ درجه سانتی گراد قرار گرفت و هر چند دقیقه یک بار پلیت حاوی قطعات استخوان تکان داده شد. پس از پایان ۳۰ دقیقه، ۳۰۰-۵۰۰ میلی‌لیتر سرم جنین گاوی جهت خنثی شدن آنزیم به پلیت اضافه شد. محلول حاوی سلول‌ها به کمک سیمپلر به لوله استریل منتقل و بادور ۱۵۰۰ بار در دقیقه به مدت ۵ دقیقه سانتریفیوژ شد. سپس مایع رویی خالی و سلول‌های چسبیده به ته لوله سانتریفیوژ، با ۱ میلی‌متر محیط کشت کامل مخلوط و به فلاسک ۲۵ سانتی‌متر مربعی منتقل گردید.

در گروه دوم ۵-۱۰ میلی‌متر آنزیم کلائزناز اضافه و پلیت در انکوباتور CO_2 با دمای ۳۷ درجه سانتی گراد به مدت ۴ ساعت قرار گرفته و هر ۱۵ دقیقه تکان داده شد. پس از گذشت ۴ ساعت و هضم قطعات استخوانی محتویات پلیت به لوله استریل منتقل گردیده و آنگاه با دور ۱۵۰۰ بار در دقیقه به مدت ۵ دقیقه سانتریفیوژ شدند. محلول رویی تخلیه و سلول‌های آزاد شده بعد از اضافه کردن محیط کشت کامل به فلاسک ۲۵ سانتی‌متر مربعی منتقل گردید

انتقال سلول‌ها به داربست HA-PLLA

سلول‌ها پس از خارج کردن از انجماد به فلاسک منتقل و در همان شرایط قبلی کشت داده شدند و پس از پوشش بیش از ۹۰٪ کف فلاسک، با تریپسینه کردن از کف فلاسک جدا و سانتریفیوژ شدندوسپس به تعداد یک میلیون سلول به داربست سلولی منتقل گردیدند و همزمان تعدادی سلول برای رنگ آمیزی آلکالین فسفاتاز روی لام کشت داده شدند. در رنگ آمیزی حدود ۶۰٪ درصد سلول‌ها آلکالین فسفاتاز مثبت بودند. در بررسی میکروسکوپ الکترونی سلول‌ها با مورفولوژی مسطح (flattened morphology) که بیانگر انتشار مناسب سلولی بود، دیده شدند (تصویر ۱-D).

رنگ آمیزی H&E و Von kossa حضور سلول‌ها در داربست را تأیید کردند؛ با این حال در رنگ آمیزی Von Kossa بلورهای هیدروکسی آپاتیت دیده نشد (تصویر ۱-E,F).

نمونه دوم: متعلق به خانمی ۲۸ ساله بود که از فک بالا سمت راست، ناحیه دندان عقل برداشته شد. در این نمونه در مدت ۲۰ روز پس از شروع کشت اولیه به تدریج تعدادی سلول با نمای شبیه فیبروبلاستی و دارای زوائد سیتوپلاسمی متعدد رشد کرده و سطح پلیت را پوشاندند (تصویر ۲-A)، سلول‌های پاساژ چهارم با تعداد یک میلیون سلول در میلی لیتر به داربست منتقل شدند. در رنگ آمیزی ALP سلول‌های پاساژ چهارم، درصد آنها آلکالین فسفاتاز مثبت بودند (تصویر ۲-B). در رنگ آمیزی Von kossa و H&E سلول‌های متعددی به صورت یکنواخت سطوح داربست را پوشانده بودند (تصویر ۲-C,D)

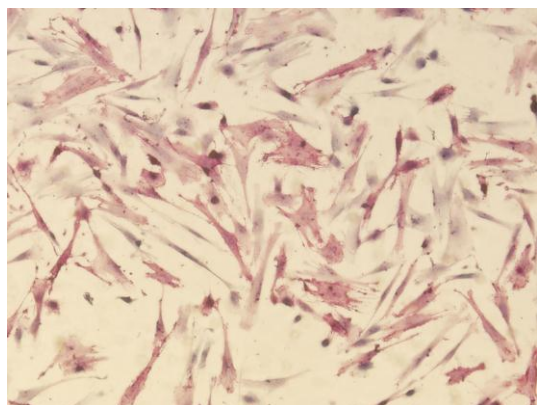
نمونه سوم: متعلق به خانمی ۲۶ ساله بود که از فک پایین سمت راست، ناحیه دندان عقل برداشته شد. در مدت ۱۴ روز پس از شروع کشت اولیه سلول‌ها دارای رشد قابل توجهی بودند. در رنگ آمیزی آلکالین فسفاتاز در پاساژ

نتایج

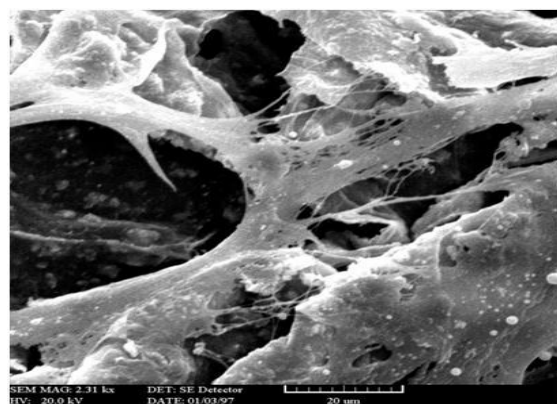
نمونه اول: متعلق به خانمی ۲۰ ساله بود که از فک پایین سمت چپ، ناحیه دندان عقل، شامل استخوان اسفننجی برداشته و طبق شرایط ذکر شده در روش اجرا به محیط کشت منتقل و در انکوباتور قرار داده شد. در مدت ۱۳ روز از شروع کشت اولیه به تدریج تعدادی سلول با نمای شبیه به فیبروبلاست و دارای زواید سیتوپلاسمی متعدد رشد کرده و سطح پلیت را پوشاندند. این سلول‌ها رشد قابل توجهی در پلیت داشتند. سلول‌های به دست آمده با کمک تریپسین و EDTA از پلیت جدا و به فلاسک منتقل شدند. سلول‌های پاساژهای مختلف روزانه با میکروسکوپ معکوس، از لحاظ مورفولوژی، تقسیم سلولی و چگونگی رشد در محیط کشت بررسی شدند. در مراحل اولیه سلول‌های شبیه فیبروبلاستی با زواید سیتوپلاسمی مشاهده می‌شد که به مرور زمان سلول‌ها تشکیل کلونی‌های سلولی می‌دادند (تصویر شماره ۱-A). زمانی که این سلول‌ها حدود ۹۰ درصد کف فلاسک را پوشاندند تعدادی سلول برای بررسی سلول‌های آلکالین فسفاتاز مثبت روی لام کشت داده شدند. بر اساس نتایج حاصل از رنگ آمیزی ALP و شمارش سلولی، در کشت اولیه ۱۰٪ سلول‌ها آلکالین فسفاتاز مثبت بودند. روش شمارش به این صورت بود که در هر لام ۲۰۰ عدد سلول با درشت نمایی ۴۰۰ شمارش و تعداد سلول‌های به رنگ قهوه‌ای که نشانه آلکالین فسفاتاز مثبت می‌باشد نسبت به کل سلول‌ها محاسبه شد (تصویر شماره ۱-B). سلول‌های پاساژ چهارم به تعداد پانصد هزار سلول در میلی لیتر شدند. برای انجماد سلول‌ها از محلول DMSO به نسبت ۱ به ۱۰ با محیط کشت استفاده شد و در دمای ۲۰°C - نگهداری شدند و در زمان استفاده، از فریزر خارج و دمای آن به دمای اتاق رسانده می‌شد. این سلول‌ها در رنگ آمیزی ALP به میزان ۶۰٪ آلکالین فسفاتاز مثبت بودند (تصویر شماره ۱-C).

در داربست تأیید کرد. رنگ آمیزی von kossa در حالت تک لایه نیز بیانگر حضور بلورهای هیدروکسی آپاتیت بود (تصویر 3-G).

برای تأیید مراحل رنگ آمیزی von kossa دو مقطع از سیست اپیدرمولید رنگ آمیزی شدند که یکی از مقاطع به عنوان کترنل منفی توسط اسید فرمیک ۱۰٪ دکلسيفیه شد. مراحل رنگ آمیزی به طور همزمان انجام شد. نقاط سیاه رنگ (→) در تصویر 4-A بیانگر بلورهای هیدروکسی آپاتیت می باشد که این مناطق در مقطع دکلسيفیه 4-B دیده نمی شود و این نتایج بیانگر صحت مراحل رنگ آمیزی بود. نتایج حاصل از رنگ آمیزی Hoechst نیز حضور سلول ها را در داربست تأیید کرد (تصویر 4-A, B).



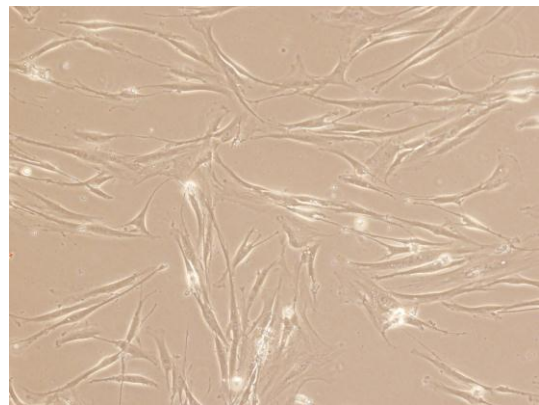
تصویر ۱-B. رنگ آمیزی آکالالین فسفاتاز پاساژ سوم نمونه اول (سلول آکالالین فسفاتاز مثبت →)



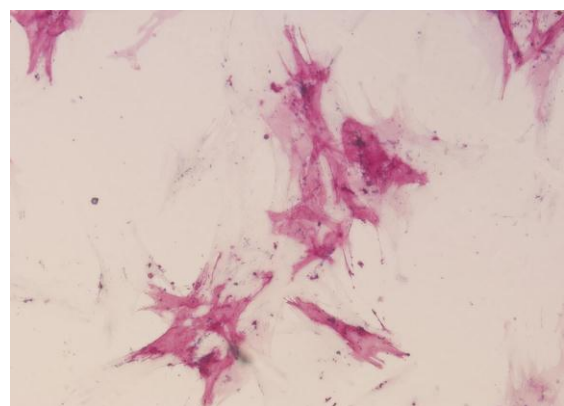
تصویر ۱-D. نمای میکروسکوپ الکترونی داربست نمونه اول (2300X)

سوم، ۶۰٪ سلول ها آکالالین فسفاتاز مثبت بودند (تصویر 3-A, B).

سلول های پاساژ چهارم به تعداد یک میلیون سلول در میلی لیتر به داربست منتقل شد. تکثیر سلولی داربست توسط رنگ آمیزی wst1 بررسی شد که در این رنگ آمیزی مناطقی از داربست دارای تغییر رنگ قهوه ای بودند که بیانگر تکثیر و انتشار سلولی در این مناطق بود (تصویر 3-C). در بررسی توسط میکروسکوپ الکترونی چسبندگی و تکثیر سلول ها با مورفولوژی گرد دیده شد، سلول ها به تدریج تکثیر و انتشار پیدا کرده و سطوح داربست را پوشانده بودند (تصویر 3-D). رنگ آمیزی H&E (تصویر 3-E) و Von kossa (تصویر 3-F) حضور سلول ها را



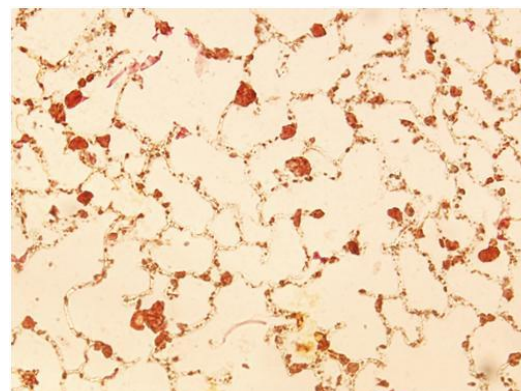
تصویر ۱-A. نمای میکروسکوپی پاساژ چهارم (200X)



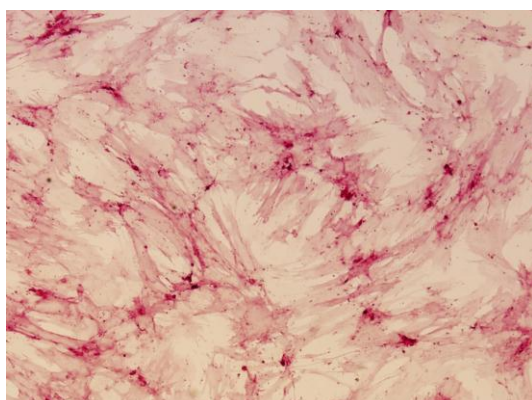
تصویر ۱-C. رنگ آمیزی آکالالین فسفاتاز سلول های نمونه اول در پاساژ چهارم



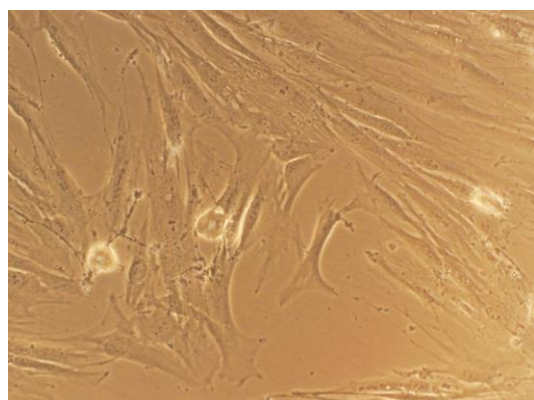
تصویر 1-F: رنگ آمیزی H&E (400X) نمونه اول



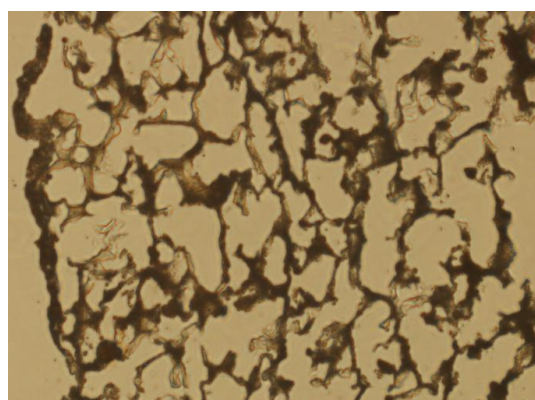
تصویر 1-E: رنگ آمیزی Vonkossa (400X) نمونه اول



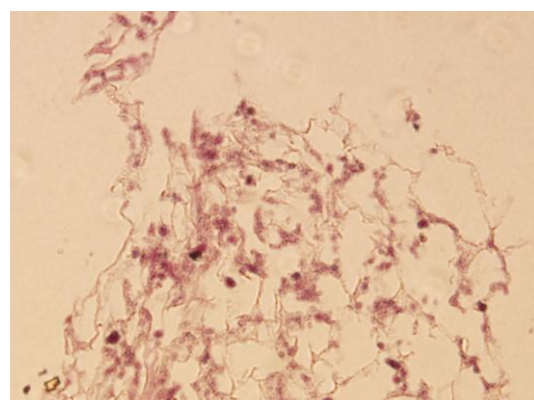
تصویر 2-B: رنگ آمیزی ALP پاساژ چهارم نمونه دوم (100X)



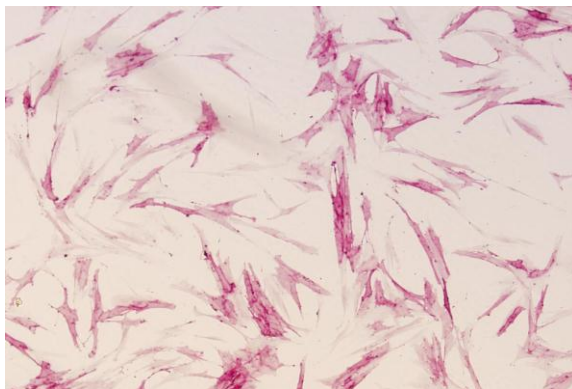
تصویر 2-A: نمای میکروسکوپی پاساژ چهارم نمونه دوم



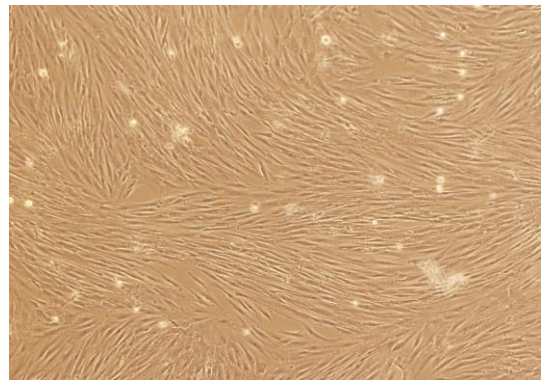
تصویر 2-D: رنگ آمیزی H-E (400X) نمونه دوم



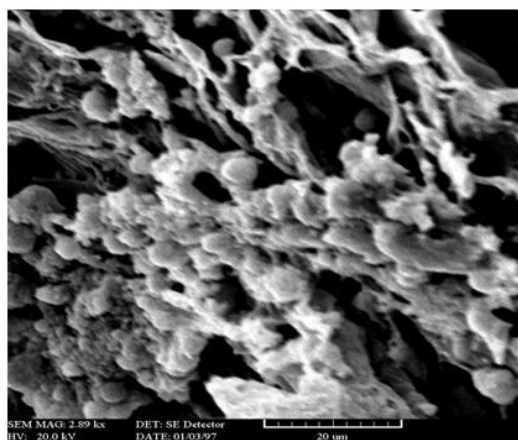
تصویر 2-C: رنگ آمیزی Vonkossa نمونه دوم



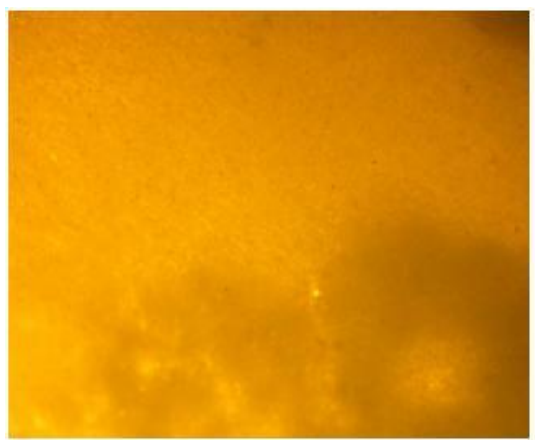
تصویر 3-B: رنگ آمیزی آکالالین فسفاتاز پاساژ چهارم
(100X) نمونه سوم



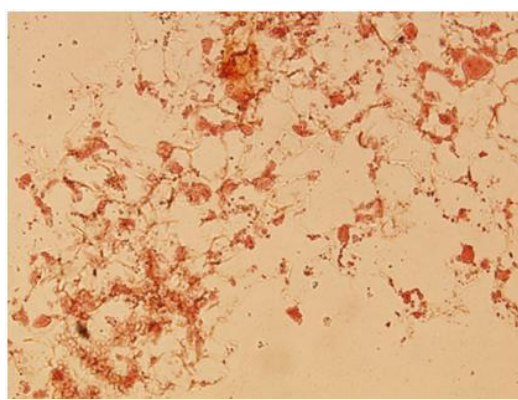
تصویر 3-A: نمای میکروسکوپی پاساژ چهارم نمونه سوم
پس از ۱۴ روز



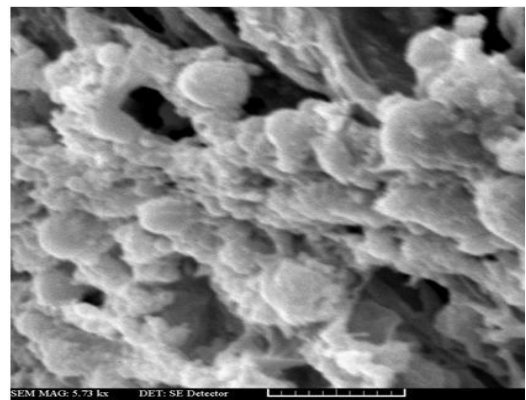
تصویر 3-D: نمای میکروسکوپ الکترونی نمونه سوم (2800x)



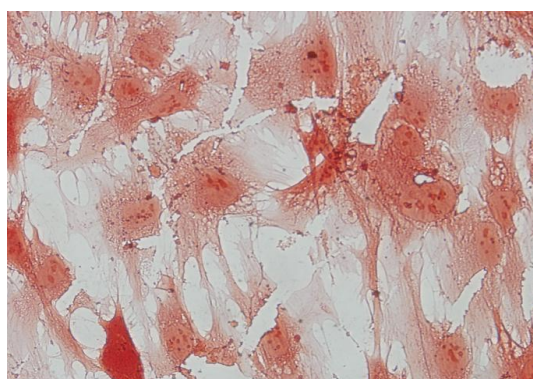
تصویر 3-C: رنگ آمیزی WST1 نمونه سوم



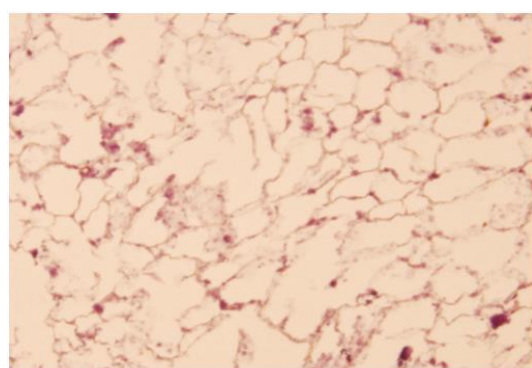
تصویر 3-F: رنگ آمیزی von kossa (400X) نمونه سوم



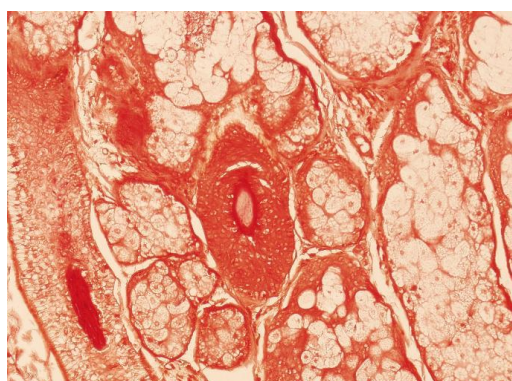
تصویر 3-E: نمای میکروسکوپ الکترونی نمونه سوم (5800x)



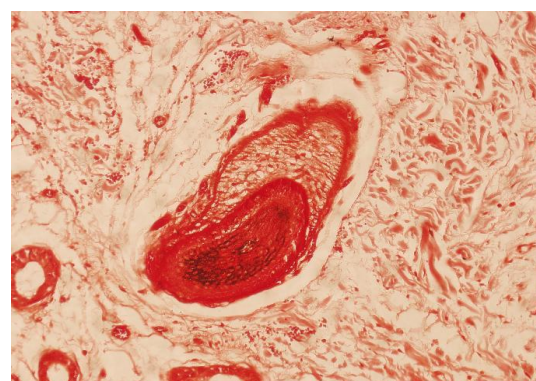
تصویر 3-H: بلورهای هیدروکسی آپاتیت در نمونه سوم در حالت تک لایه (600x) (→ نشانه هنده بلورهای هیدروکسی آپاتیت می باشد)



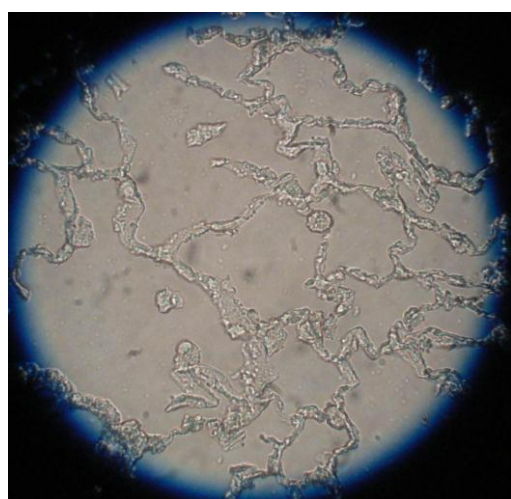
تصویر 3-G: رنگ آمیزی (400X H-E) نمونه سوم



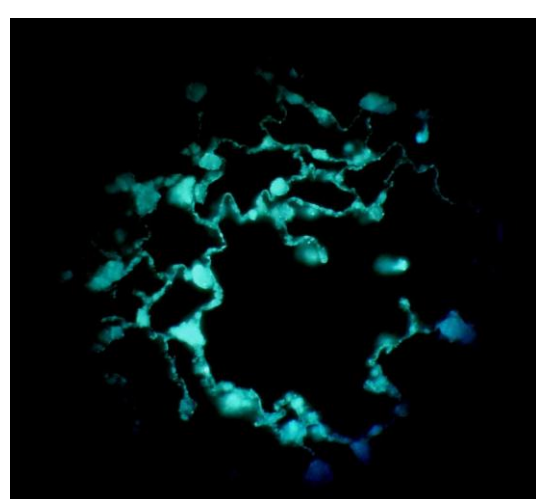
تصویر 4-B: مقطع دکاسیفیه شاه سیست اپیلرمونید (200x)



تصویر 4-A: رنگ آمیزی Von kossa سیست اپیلرمونید (200x)



تصویر 5-B: رنگ آمیزی Hoechst داریست



تصویر 5-A: رنگ آمیزی Hoechst داریست

(۲۱)، ۲۳ روز (۹) و ۴-۵ هفته (۸) گزارش شده است. علت تفاوت در مدت زمان مذکور، احتمالاً استفاده از مواد مکمل مختلف در محیط‌های کشت مثل اسید اسکوربیک، دگراماتازون، بتاگلیسروفسفات، و یا غلظت‌های مختلف و یا تفاوت در روش جداسازی سلول‌های استئوپلاستی می‌باشد. در پژوهش حاضر تنها از اسید اسکوربیک به عنوان ماده‌ی مکمل استفاده شد.

در این مطالعه برای تأیید وجود سلول‌های استئوپلاست از تست آلکالین فسفاتاز استفاده شد و یافته‌ها نشان می‌دهد که میزان سلول‌های استئوپلاستی در مقایسه با سایر سلول‌ها در پاساژهای بالاتر افزایش می‌یابد. به طوری که در پاساژ چهارم درصد سلول‌های آلکالین فسفاتاز مثبت ($60 \pm 3\%$) بود. در تحقیق ریفارز (Rifase) و همکاران که بر روی سلول‌های استئوپلاست به دست آمده از مغز استخوان دنده انسان انجام شده، درصد سلول‌های آلکالین فسفاتاز مثبت $1 \pm 9/2 \pm 80\%$ گزارش شده که به نتایج مطالعه حاضر نزدیک می‌باشد (۱۹). لازم به ذکر است به طور کلی در حالت کشت تک لایه، سلول‌ها سطوح پایینی از آلکالین فسفاتاز را نشان می‌دهند و اگر کشت به صورت تک لایه ادامه یابد حداکثر میزان فعالیت آلکالین فسفاتاز در هفته سوم کشت می‌باشد و بعد از آن کاهش می‌یابد (۲۰). این موضوع در تحقیق دیگری نیز مورد تأیید قرار گرفته و بیان شده که فعالیت آلکالین فسفاتاز سلول‌های استئوپلاست با افزایش زمان کشت افزایش یافته و حداکثر این افزایش در روز ۲۱ پس از شروع کشت سلولی می‌باشد (۲۲).

ترکیب پلیمرها با هیدروکسی آپاتیت خواص آنها را بهبود می‌بخشد و منجر به شکل‌گیری سریع استخوان و ترکیب تدریجی استخوان با داربست می‌شود (۲۳).

ما (Ma) و همکاران نیز نشان دادند که انتشار سلول‌های استئوپلاست در داربست‌های PLLA-HA نسبت به داربست‌های PLLA خالص یکنواخت‌تر است. در پژوهش مذکور سلول‌های استئوپلاست در داربست‌های PLLA-HA با

بحث و نتیجه‌گیری

تاکنون برای تحقیق بر روی سلول‌های استئوپلاست از سلول‌های بنیادی جنینی (۸) فک فوقانی (۹،۷)، سلول‌های مغز استخوان (۱۰-۱۴)، رده‌های استئوژنیک MC3T3-E1 (۱۵)، رده‌های سلولی استئوپلاستیک انسان (۱۶) و سلول‌های استئوپلاست سر ران (۱۷) استفاده شده است. در مطالعه حاضر، از سلول‌های استئوپلاست استخوان اسفنجی و کورتیکال فک انسان، استفاده شده است.

ما برای جداسازی سلول‌های استئوپلاست از قطعات استخوانی، از دو آنزیم تریپسین ۱/۲۵٪ و کلائزناز با غلظت ۲ میلی‌گرم در میلی‌لیتر استفاده کردیم. در تحقیق شیمینگ (Schimming) و همکاران نیز برای جداسازی استئوپلاست‌ها از کلائزناز (333U/ML) استفاده شده است (۱۸). در تحقیق مشابه دیگری علاوه بر کلائزناز از هیالورونیداز نیز برای کمک به هضم بهتر نمونه‌های استخوانی فمور و تibia استفاده شده است (۱۷). در تحقیق دیگری از یکی از نویسنده‌گان حاضر برای آماده‌سازی نمونه‌های استخوانی نیز از کلائزناز استفاده شده است که در مقایسه با نمونه‌های بدون کلائزناز، رشد بهتر و سریع‌تر سلول‌ها مشاهده شده است (۹).

در مطالعات مشابه به منظور جداسازی سلول‌های استئوپلاست از کلائزناز Type IV با غلظت ۲ mg/ml به مدت ۲ ساعت و یا از تریپسین ۵/۰٪ درصد و کلائزناز ۰/۰۲ درصد به مدت ۷۰ دقیقه استفاده شده است (۱۹،۲۰).

لازم به توضیح است استفاده طولانی مدت از کلائزناز با هدف جداسازی سلول‌های استئوپلاست از نمونه‌ها، باعث آزاد شدن تعداد زیادی فیبروبلاست به همراه استئوپلاست می‌شود که خود در ادامه روند کشت استئوپلاست‌ها مشکل جدی ایجاد می‌کند (۱۳).

در این مطالعه فاصله زمانی بین کاشت اولیه سلول‌ها پس از جداسازی تا رسیدن به تراکم 80% به طور متوسط ۱۴ روز بود. در حالیکه در تحقیقات مشابه ۱۲ روز (۱۳)، ۱۰ روز

در مطالعه حاضر مدت زمان کشت سه بعدی سلول‌ها در داربست ۲۱ روز بود. در سایر مطالعات این مدت زمان شامل ۳ هفته (۲۷)، ۴ هفته (۲۹) و ۶ هفته (۱۲) بوده است.

چسبندگی، انتشار و تمایز سلولی در داربست‌ها در مطالعه حاضر توسط Scanning electron microscope بررسی و تأیید شد که با نتایج سایر تحقیقات مشابه هم خوانی دارد. مثلاً در یکی از پژوهش‌های پیشین کشت سلول‌های استئوپلاست انسانی در داربست‌های سرامیک/پلیمر با پلیت‌های استاندارد کشت مقایسه و آنالیز میکروسکوپ الکترونی بیانگر چسبندگی استئوپلاست‌ها روی سطوح داربست بوده و استئوپلاست‌ها سطح چند لایه‌ای همراه با فیبریل‌های شبه کلائز را درون داربست ایجاد کرده بودند (۲۱).

وانگ (wang) و همکاران در تحقیق خود سلول‌های مغز استخوان خرگوش را به داربست‌های PLA (poly lactic acid) و PHB (poly 3-hydroxybutyrate) تلقیح کردند و بررسی کشت انجام شده با میکروسکوپ الکترونی نشان داد که داربست‌های PHBHHX سطح مناسب تری برای چسبندگی و تکثیر سلولی در مقایسه با PLA و PHB داشته و سلول‌ها در این داربست فتوتیپ استئوپلاست‌ها (سلول‌های گرد با فعالیت آلکالین فسفاتاز بالا) را نشان می‌دادند (۳۰).

در یک بررسی دیگر رشد و چسبندگی سلول‌های استئوژنیک در داربست‌های OPLA (نام تجاری PLA از کارخانه Biosciences می‌باشد) توسط میکروسکوپ الکترونی بررسی شده و رشد وسیع توده‌های سلولی که کاملاً داربست را پوشانده بودند نشان داده شده است. در مطالعه مذکور رشد سلول‌های استئوژنیک یک هفته بعد از کشت در داربست دیده شد و پس از چهار هفته ندول‌های

انتشار یکنواخت به مرکز داربست نفوذ پیدا کرده بودند ولی در داربست‌های PLLA سلول‌های استئوپلاست به صورت پراکنده در نواحی مرکزی دیده می‌شدنند (۲۳). داربست‌های مورد استفاده در بررسی حاضر دارای تخلخل‌های به اندازه ۵۰–۲۰۰ میکرومتر بودند. البته لازم به توضیح است که اندازه مناسب تخلخل‌های داربست در مطالعات مختلف دقیقاً تعریف نشده است و محققان ترجیحاً اندازه تخلخل‌هایی را که در آن شکل‌گیری استخوان دیده شده ذکر کرده‌اند. مثلاً در تحقیق هولبرت (Hulbert SF) و همکاران حداقل اندازه منافذ داربست توصیه شده ۱۰۰ میکرومتر می‌باشد (۲۴) و در سایر مطالعات منافذ بزرگ‌تر از ۳۵۰ میکرومتر نیز برای استخوان‌سازی پیشنهاد شده‌اند (۲۵، ۲۶).

همچنین برخی محققان میکروکانال‌های در حد ۵۰۰ میکرون (۲۴) و بعضی هم اندازه تخلخل‌های بین ۴۰۰–۲۰۰ میکرومتر را جهت ایجاد پاسخ سلولی مناسب استئوپلاست‌ها مناسب می‌دانند (۷) که با توجه به ذکر اعداد مختلف جهت اندازه تخلخل‌ها و رشد سلول‌های استئوپلاست، به تحقیقات پیشتری برای دستیابی به اندازه مناسب تخلخل‌های داربست‌ها نیاز می‌باشد.

در این مطالعه سلول‌های استئوپلاست با تعدادیک میلیون سلول در میلی‌لیتر به داربست منتقل شدند. که مشابه تحقیق دیگری در سال ۲۰۰۴ می‌باشد (۷). اما در تحقیقات دیگر از تعداد سلول کمتر یا پیشتری استفاده شده است. مثلاً تروجانی (Trojani) و همکاران از دویست هزار سلول در یک ونیم میلی‌لیتر برای کشت سه بعدی در هیدروژل استفاده نموده‌اند (۲۷) در حالی که کیم (kim) و همکاران و شلیفاک (Schliephake) و همکاران پنج میلیون سلول در میلی‌لیتر برای این امر استفاده نموده‌اند که این اختلاف در تعداد سلول‌ها در شرایط کشت و محیط‌های آزمایشگاهی مختلف متفاوت ذکر شده است (۱۲، ۲۸).

فاسینا (Fassina) و همکاران برای بررسی بافتی داربست‌های poly urethane از رنگ آمیزی H&E و Van kossa استفاده کردند که در رنگ آمیزی H&E سلول‌ها به صورت یکنواخت سطوح Poly urethane را در چند لایه پوشیده و در رنگ آمیزی van kossa نیز حضور داربست حاوی بلورهای هیدروکسی آپاتیت به رنگ قهوه‌ای نشان داده شد (۳۲). مطالعه حاضر نشان داد که در شرایط مناسب می‌توان سلول‌های استئوبلاستی انسان را از قطعات استخوان فک به دست آورد. سلول‌های به دست آمده در محیط کشت به خوبی رشد کرده و فنوتیپ سلول‌های استخوانی را دارند. مخلوط سلولی اولیه به تدریج در کشت‌های بعدی خالص تر شده و میزان سلول‌های استئوبلاستی آن افزایش می‌یابد. این سلول‌ها علاوه بر قابلیت کشت به صورت تک لایه، قادرند در محیط سه بعدی رشد کنند و به داربست سه بعدی متصل شوند. پس از گذشت حدود سه هفته از شروع کشت سه بعدی، تعدادی از سلول‌ها به داربست متصل شده و رشد می‌کنند. تولید داربست‌های هیدروکسی آپاتیت که سلول‌های استئوبلاستی روی آن کشت داده شده باشند، روش مناسبی برای تهیه داربست‌های قابل جذب برای ترمیم نقص‌های استخوانی در ناحیه فک و صورت می‌باشد. پس از کشت سلول‌های استئوبلاست ییمار در این داربست‌ها می‌توان آنها را به منظور بازسازی نواحی مورد نظر، در بدن ییمار کاشت.

هر چند در تحقیق حاضر ما توانستیم با موفقیت سلول‌های استئوبلاستی فک انسان را در داربست سه بعدی کشت دهیم، لیکن هنوز تا کاربردی شدن آن در انسان تحقیقات بیشتری بایستی انجام شود و تحقیق در موارد زیر می‌تواند راهگشای کاربردهای آتی یافته‌های سودمند تحقیق حاضر باشد:

۱. بررسی تأثیر اندازه منافذ داربست‌ها در میزان تکثیر و رشد سلول‌ها در آنها.

کوچک استخوانی در ماتریکس خارج سلولی دیده می‌شدند (۷).

اندرز (Enders) و همکاران سلول‌های پیش‌ساز مزانشیمال polycaprolactone- PCL-HA را به داربست‌های polycaprolactone (PCL) و (hydroxyapatite) منتقل کردند. در بررسی با میکروسکوپ الکترونی اتصال سلول‌ها به فیبرهای PCL و PCL-HA دیده شد که بعد از دو هفته ماتریکس خارج سلولی توسط سلول‌ها در تخلخل‌ها تولید شد و در پایان هفته سوم تمام ساختار داربست از سلول و ماتریکس خارج سلولی پر شد (۳۱).

در تحقیق سنت پیر (St-Pierre) و همکاران تکثیر سلول‌های پراستوبلاست MC3T3E1 در داربست‌های تیتانیومی توسط میکروسکوپ الکترونی تأیید شد و در نتیجه پیشرفت تکثیر سلولی، سلول‌ها به صورت سه بعدی منتشر و به تدریج فضای تخلخل‌ها را پر کردند (۱۵). برای بررسی ساختار بافتی داربست از رنگ آمیزی Van kossa, hoechst H & E استفاده شد. در رنگ آمیزی kossa املاح فسفات قابل تشخیص می‌شوند و مثبت بودن آن حاکم از تشكیل بلورهای هیدروکسی آپاتیت است. این رنگ آمیزی‌ها وجود سلول‌ها را در داربست تأیید کردنداما رنگ آمیزی von kossa نشان‌دهنده عدم تشكیل بلورهای هیدروکسی آپاتیت توسط سلول‌ها در داربست بود که می‌تواند ناشی از کوتاه بودن زمان کشت برای تشكیل بلورهای معدنی و تعداد ناکافی سلول‌های استئوبلاست باشد. Ma و همکاران با رنگ آمیزی van kossa داربست‌های PLLA و PLLA-HA نفوذ و انتشار سلولی در این دو نوع داربست نشان دادند. در داربست‌های PLLA-HA تعداد بیشتری از استئوبلاست‌ها با انتشار یکنواخت به نواحی عمقی داربست نفوذ کرده بودند در حالیکه در داربست‌های PLLA استئوبلاست‌ها به صورت پراکنده در نواحی مرکزی دیده می‌شدند (۲۳).

۶. بررسی خواص بیو فیزیکی داربست حاوی سلول.

سپاسگزاری

این مقاله حاصل طرح پژوهشی شماره ۸۵/۸۷ می باشد که توسط معاونت محترم پژوهشی دانشگاه علوم پزشکی کرمان تصویب و حمایت مالی شده است که بدین جهت از معاونت مذکور صمیمانه قدردانی می شود.

۲. بررسی قابلیت سلول‌های استئوبلاست با منشاء متفاوت در اتصال به داربست.

۳. بررسی تأثیر درصد هیدروکسی آپاتیت بر چسبندگی و تکثیر سلولی.

۴. بررسی قابلیت انواع داربست‌های پلیمر/سرامیکی در ایجاد داربست سلولی.

۵. مطالعه واکنش بافت میزان نسبت به این داربست‌ها و بررسی روند تجزیه آنها در بدن میزان.

References

1. Vacanti JP, Langer R. Tissue engineering: The design and fabrication of living replacement devices for surgical reconstruction and transplantation. *Lancet* 1999; 354: S32-S34.
2. Langer R, Vacanti J.P. Tissue engineering science 1993; 260(5110): 920-6.
3. Wiesmann H.P., Joos U, Meyer U, Biological and biophysical principles in extracorporeal bone tissue engineering. Part III. *Int J Oral Maxillofac Surg* 2004; 33 (7): 523-30.
4. Lohberger B, Payer M, Rinner B, Bartmann C, Stadelmeyer E, Traunwieser E, et al. Human intraoral harvested mesenchymal stem cells: characterization, multilineage differentiation analysis, and 3-dimensional migration of natural bone mineral and tricalcium phosphate scaffolds. *J Oral Maxillofac Surg* 2012; 70(10): 2309-15.
5. Barron MJ, Goldman J, Tsai CJ, Donahue SW. Perfusion Flow Enhances Osteogenic Gene Expression And the Infiltration of Osteoblasts and Endothelial Cells into three-dimensional Calcium Phosphate Scaffolds. *Int J Biomater* 2012; doi: 10.1155/2012/915620. E pub 2012 Sep. 4.
6. Rath SN, Strobel LA, Arkudas A, Beier JP, Maier AK, Greil P, et al. Osteoinduction and survival of osteoblasts and bone-marrow Stromal cells in 3D biphasic calcium phosphate scaffolds under Static and dynamic culture conditions *J Cell Mol Med* 2012; 16(10): 2350-61.
7. Faryabi J, Nematollahi Mahani SN, malekpoor Afshar R, Nematipoor A, Fardisi S. A laboratory study on human jaw osteoblastic stem cells culturing, *J Kerman Univ Med Sci* 2006; 13(2): 57-66 [In Persian].
8. Ghaudhry G.R, Yao D, Smith A, Hussain A. Osteogenic cells derived from embryonic stem cells produced bone nodules in three dimensional scaffolds. *J Biomed Biothechnol* 2004; 4:203-10.
9. Wiedmann Al-Ahmad M, Gutwald R, Lauer G, Hubner U, Schmelzeisen R. How to optimize seeding and culturing of human osteoblast-like cells on various biomaterials. *Biomaterials* 2002; 23 (16): 3319-28.
10. Schecroun N, Delloye Ch: *In vitro* growth and osteoblastic differentiation of human bone marrow stromal cells supported by autologous plasma. *Bone* 2004; 35(2): 517-24.

11. Chen F, Feng X, Wu w, Ouyang H, Gao z, Cheng x, et al. segmental bone tissue engineering by seeding osteoblast precursor cells into titanium mesh-coral composite scaffolds. *Int J Oral Maxillofac Surg* 2007; 36(9): 822-7.
12. Kim H.J, Kim U.J, Kim H.S, Li C, Wada M, Leisk GG, Kaplan DL. Bone tissue engineering with premineralized silk scaffolds. *Bone* 2008; 42 (6): 1226-34.
13. Van Griensven M, Zeichen J, Tschernig T, Seekamp A, Pape HC. A modified method to culture human osteoblasts from bone tissue specimens using fibrin glue. *Exp toxicol pathol* 2002; 54 (1): 25-9.
14. Mauney J.R, Jaquiere C, Volloch V, Heberer M, Martin I, Kaplan DL. *In vitro* and *in vivo* evaluation of differentially demineralized cancellous bone scaffolds combined with human bone marrow stromal cells for tissue engineering. *Biomaterials* 2005; 26 (16): 3173-85.
15. St-pierre J.P, Guathier M, Lefebvre L.P, Tabrizian M. Three dimensional growth of differentiating MC3T3-E1 pre- osteoblasts on porous titanium scaffolds. *Biomaterials* 2005; 26 (35): 7319-28.
16. Ferrera D, Poggi S, Biassoni C, Dickson GR, Astigiano S, et al.. Three-dimensional culture of normal human osteoblast: proliferation and differentiation *in vitro* and upon ectopic implantation in nude mice. *Bone* 2002; 30 (5):718-25.
17. Sanchez C, Deberg M.A, Piccardi N, Msika P, Reginster JY, Henrotin YE. Osteoblasts from sclerotic subchondral bone downregulate aggrecan but upregulate metalloproteinases expression by chondrocytes 2005: 13(11): 979-87.
18. Schimming R, Schmelzeisen R. This effect is mimicked by interleukin -6-1-beta and oncostatin M pre-treated non-sclerotic osteoblasts. *Osteoarthritis* Tissue-engineered bone for maxillary sinus augmentation. *J Oral Maxillofac Surg* 2004; 62 (6): 724-9.
19. Rifas L, Halstead L.R, Peck W.A, Avioli L.V, Welgus H.G: Human osteoblasts In vitro secrete tissue inhibitor of metalloproteinases and gelatinase but not interstitial collagenase as major cellular products. *J Clin Invest* 1989; 84 (2): 686-94.
20. Gerber I, Gwynn I. Differentiation of rat osteoblast-like cells in monolayer and micromass cultures. *Eur cell and mater* 2002; 30 (3): 19-30.
21. Hagewald S, Pisched N, Jower P, Bernimoulin JP, Zimmermann B. Effect of enamel matrix derivative on proliferation and differentiation of primary osteoblasts. *Oral surg Oral Med Oral Pathol Oral Radiol Endod* 2004; 98(2): 243-9.
22. Yefang Z, Hutmacher D.W, Varawan S.L, Meng L.T. Comparison of human alveolar osteoblasts cultured on polymer-ceramic composite scaffolds and tissue culture plates. *Int J Oral Maxillofac Surge* 2007; 36 (2):137-45.
23. Ma P.X, Zhang R, Xiao G, Franceschi R. Engineering new bone tissue *In vitro* on highly porous poly (α -hydroxyl acids)/hydroxyapatite composite scaffolds. *J Biomed Mater Res* 2001;54 (2): 284-93.
24. Hulbert SF, Young F.A, Mathews R.S, Klawitter JJ, Talbert CD, Stelling F.H. Potential of ceramic materials as permanently implantable skeletal prostheses. *J Biomed mater Res* 1970; 4(3): 433-56.

25. Karageorgiou V, Kaplan D. Porosity of 3D biomaterial scaffolds and osteogenesis. *Biomaterials* 2005; 26(27): 5474-91.
26. Buckley CT, O'Kelly KU. Fabrication and characterization of a porous multidomain hydroxyapatite scaffold for bone tissue engineering investigations. *J Biomed Mater Res B Appl Biomater* 2010; 93(2): 459-67.
27. Trojani C, Weiss P, Michiels JF, Vinatier C, Guicheux J, Daculsi G, et al. Three dimensional culture and differentiation of human osteogenic cells in an injectable hydroxypropylmethylcellulose hydrogel. *Biomaterials* 2005; 26 (27): 5509-17.
28. Schliephake H, Zghoul N, Jager V, Griensven M, Zeichen J, Gelinsky M, et al. Effect of seeding technique and scaffold material on bone formation in tissue-engineered constructs. *J Biomed Mater Res* 2009; 90 (2): 429-37.
29. Service RF. Tissue engineers Build new bone. *Science* 2000; 289(5484): 1498-500.
30. Wang YW, Wu Q, Chen GQ. Attachment, proliferation and differentiation of osteoblasts on random biopolyester poly (3-hydroxybutyrate-co-3-hydroxyhexanoate) scaffolds. *Biomaterials* 2004; 25 (4):669-75.
31. Endres M, Hutmacher D.W, Salgado A.J, Kaps C, Ringe J, Reis R.L, et al. Osteogenic Induction of Human Bone Marrow-Derived Mesenchymal Progenitor Cells in Novel Synthetic Polymer-Hydrogel Matrices. *Tissue Eng* 2003; 9(4): 689-702.
32. Fassina L, Visai L, DeAngelis MG, Benazzo F, Magenes G. Surface modification of porous polyurethane through a culture of human osteoblasts and an electromagnetic bioreactor. *Technol Health Care* 2007; 15(1): 33-45.

Three Dimensional Culturing of Human Jaw Osteoblasts in PLLA/HA Scaffold

Faryabi J., D.D.S.^{1,2*}, Nematollahi S.N., Ph.D.^{3,4}, Salehinijad P., Ph.D.⁵, Shahrokhi M., D.D.S.⁶, Khorasani M.T., Ph.D.⁷

1. Associate Professor of Maxillofacial Surgery, School of Dentistry, Kerman University of Medical Sciences, Kerman, Iran
2. Research Center for Oral and Dental Diseases, Kerman University of Medical Sciences, Kerman, Iran
3. Professor of Anatomy, Afzalipour School of Medicine, Kerman University of Medical Sciences, Kerman, Iran
4. Physiology Research Center, Kerman University of Medical Sciences, Kerman, Iran
5. Medical Biotechnologist, Afzalipour School of Medicine, Kerman University of Medical Sciences, Kerman, Iran
6. Dentist, Jiroft University of Medical Sciences, Jiroft, Iran
7. Iran Polymer Institute, Tehran, Iran

* Corresponding author; e-mail: jfr@kmu.ac.ir

(Received: 4 August 2012 Accepted: 4 March 2013)

Abstract

Background & Aims: Tissue engineering using somatic cells and synthetic extracellular matrix (scaffold) represents a new approach for regeneration of mineralized tissue and bone. This study was carried out to investigate the ability of a PLLA/HA scaffold to culture osteoblast cells in a three dimensional milieu.

Method: Three bony samples were taken from extraction sites during surgical extraction of wisdom teeth. Osteoblasts were obtained from specimens by using trypsin and collagenase and were cultured in monolayer up to passage four. Cells were seeded on PLLA/HA scaffolds at density of 10^6 cells/ml and then incubated for 21 days. The seeded cells were evaluated by Hoechst, von kossa and H&E stainings and scanning electron microscopy.

Results: Cellular growth was more pronounced when isolation was carried out by collagenase. According to scanning electron microscopy, osteoblast cells had been proliferated and attached to the scaffolds. H&E, Hoechst and von kossa stainings confirmed the presence of the harvested cells in the scaffold too.

Conclusion: Our findings suggest that osteoblast cells can grow onto PLLA/HA scaffold *in vitro*.

Keywords: Osteoblasts, Tissue engineering, PLLA Polymer, Hydroxyapatite, Tissue scaffolds

Journal of Kerman University of Medical Sciences, 2013; 20(5): 435-449